

مطالعه آزمایشگاهی پروفیل‌های سرعت و غلظت جریان غلیظ در قوس رودخانه*

مقاله علمی - پژوهشی

مرضیه محمدی^(۱) مهدی قمشی^(۲)

چکیده هدف از انجام تحقیق حاضر بررسی رفتار جریان غلیظ در خم با بستر فرسایشی است. برای انجام آزمایش‌های جریان نمکی، فلومی با طول کلی ۸/۵ متر، عمق ۷۰، عرض ۲۰ سانتی‌متر و شیب کف ۰/۰۰۱ به همراه سه قوس متوالی به شعاع انحنا ۴۰، ۸۰ و ۱۲۰ سانتی‌متر، ساخته شد. نتایج نشان داد در پروفیل‌های سرعت بدنه جریان نرخ افزایش سرعت به ازای افزایش غلظت، به تغییرات فرم بستر وابسته است. در نتیجه باعث کاهش سرعت بدنه جریان تا حدود ۱۹ درصد خواهند شد. سرعت پیشانی افزایش یافته است و تا جایی این افزایش سرعت ادامه یافته است که تنش برشی ذرات بستر قادر به تشکیل فرم بستر باشد. بدین ترتیب، با کاهش تنش برشی بستر و حذف فرم‌های بستر، نرخ افزایش سرعت پیشانی، کاهش در حدود ۶ درصد داشته است.

واژه‌های کلیدی بستر فرسایشی، جریان چگال، جریان ثانویه، خم، پروفیل غلظت، پروفیل سرعت.

Investigation of Velocity and Concentration Profiles of Turbidity Flow in River Bends

M. Mohammadi

M. Ghomeshi

Abstract The purpose of this study was to investigate the behavior of high flow in bending with Erodible Bed. This paper presents a series of experiments in which saline gravity currents flowed through a sinuous channel model. This flume contains three successive bends with three different relative curvature radiuses: 40, 80 and cm, 8.5 m length, 20cm width and 70cm height. The results show, in condition of a constant discharge, increasing the concentration of the inlet current, the flow velocity of the body flow increases on a mobile bed. The rate of increase in velocity depends on changes in the form of the bed the flow rate of the body will be reduced to about 19%. The velocity of the forehead has increased in the conditions of the mobile bed by forming the form of the bed. So decrease shear stress and omit the bed form cause increasing the velocity of the forehead decrease about 6%.

Key Words Erodible Bed, Density Flow, Secondary Flow, Bend, Concentration Profile, Velocity Profile.

* تاریخ دریافت مقاله ۹۷/۸/۲۷ و تاریخ پذیرش آن ۹۸/۱۱/۱۶ می‌باشد.

(۱) نویسنده مسئول، دانشجوی دکتری سازه‌های آبی، دانشکده مهندسی علوم آب، دانشگاه شهید چمران، اهواز.

Email: mohamadi_200035@yahoo.com

(۲) استاد گروه سازه‌های آبی، دانشکده مهندسی علوم آب، دانشگاه شهید چمران، اهواز.

مقدمه

یکی از مسائل بسیار مهم در زمان بهره‌برداری از سدها، وجود معضل رسوب‌گذاری در مخزن آنها است. رسوب‌گذاری در مخازن سدها باعث کاهش عمر مفید سدها می‌گردد. رسوب‌گذاری مخازن یکی از مشکلات مهم در مدیریت منابع آب در دهه‌های آینده خواهد بود. استفاده پایدار از مخازن در امر مدیریت منابع آب مستلزم کنترل رسوب‌گذاری مخزن و حتی تخلیه رسوب مخزن است [1]. در حال حاضر متوسط سالانه کاهش مخازن مفید در جهان به دلیل رسوب‌گذاری، بیشتر از حجم ایجادشده توسط سدهای جدید است [2].

جریان غلیظ و یا جریان چگال عبارت است از جریان یک سیال در سیال دیگر با چگالی متفاوت. عامل ایجاد جریان گردان افقی فشار است که خود ناشی از اختلاف جرم مخصوص بین دو سیال است. این اختلاف چگالی می‌تواند ناشی از تفاوت دما، تفاوت در غلظت مواد محلول و تفاوت در غلظت ذرات معلق باشد. در این حالت سیال وارد شونده به درون سیال دیگر را سیال غلیظ و سیال پذیرنده را سیال پیرامون می‌نامند. اگر اختلاف چگالی ایجادشده به دلیل رسوبات معلق باشد جریان ایجادشده را جریان کدر می‌نامند. جریان‌های غلیظ (کدر) در نتیجه مومتم و نیروی شناوری به دلیل اختلاف چگالی بین جریان‌های فرعی ورودی و مخزن دریافت‌کننده جریان به وجود می‌آیند.

جریان غلیظ می‌تواند به سه صورت مشاهده شود:

۱. زیرگذر که به صورت یک جریان با چگالی بیشتر از سیال پیرامون در زیر سیال پیرامون حرکت می‌کند؛

۲. میان‌گذر که به صورت یک جریان در مرز بین دو لایه سیال، در سیال پیرامون لایه‌بندی شده که دارای چگالی معادل با متوسط چگالی دو لایه سیال است؛

۳. روگذر که به صورت جریان با چگالی کمتر از سیال پیرامون روی سیال پیرامون حرکت می‌کند [2].

تفاوت اساسی این دو جریان تأثیر کاهندگی سیال محیطی روی نیروی ثقل در جریان غلیظ است. شتاب ثقل کاهش یافته که عامل حرکت در جریان‌های غلیظ است با رابطه (۱) بیان می‌شود:

$$g' = g \frac{\rho_d - \rho_a}{\rho_a} \quad (1)$$

در این رابطه g' شتاب ثقل مؤثر بر جریان غلیظ، ρ_d چگالی جریان غلیظ و ρ_a چگالی سیال پیرامون است.

عدد ریچاردسون (Bulk Richardson Number) به‌عنوان نسبت شناوری به انرژی جنبشی جریان تعریف می‌شود. یک عدد ریچاردسون بزرگ به معنی حکم‌فرما بودن نیروی شناوری است؛ در نتیجه اختلاط کمتری در سطح بین جریان غلیظ و سیال پیرامون اتفاق می‌افتد. عدد ریچاردسون می‌تواند با استفاده از مقیاس طول و سرعت به شکل رابطه (۲) بیان شود:

$$Ri_0 = \frac{g' L}{U^2} \quad (2)$$

که U سرعت جریان و L کلاً مقیاس طول عمودی است. عموماً عمق آب h را نشان می‌دهد.

عدد فرود دنسیمتریک: شبیه عدد فرود است. عدد فرود دنسیمتریک عکس مجذور عدد ریچاردسون کلی است.

$$Fr_d = \frac{U}{\sqrt{2g'h \cos \theta}} \quad (3)$$

در این رابطه Fr_d عدد فرود دنسیمتریک است. این رابطه اغلب نیروی گرانشی مقاوم در برابر اختلاط را نسبت به نیروی اینرسی جریان بیان می‌کند. حرکت جریان غلیظ باعث کشش و ورود سیال پیرامون به درون جریان می‌گردد که شدت ورود سیال با پارامتر شدت

جریان غلیظ دارای شکلی مشابه جت دیواره است. در جت دیواره دو رژیم دیواره و جت قابل تشخیص است (شکل ۱). در این شکل h_{max} در حقیقت ارتفاعی است که در آن سرعت ماکزیمم است یعنی $u = U_{max}$. دو رژیم یادشده بالا عبارت‌اند از:

$$\frac{u(z)}{u_*} = \frac{1}{k} \ln z + cte \quad (9)$$

یا توسط رابطه‌ی نمایی:

$$\frac{u(z)}{U_{max}} = \left(\frac{z}{h_{max}}\right)^n \quad (10)$$

۲. در رژیم جت $z > h_{max}$ توسط رابطه‌ی near-Gaussian:

$$\frac{u(z)}{U_{max}} = \exp\left[-\alpha \left(\frac{z-h_{max}}{h-h_{max}}\right)^\beta\right] \quad (11)$$

در این رابطه $\alpha = 1/4$ و $\beta = 2.5$ پیشنهاد می‌شود [4]

اختلاط بیان می‌شود. شدت ورود سیال تابعی از عدد ریچاردسون است که می‌توان آن را با رابطه (۴) محاسبه نمود:

$$E_w = f(R_i) \quad (4)$$

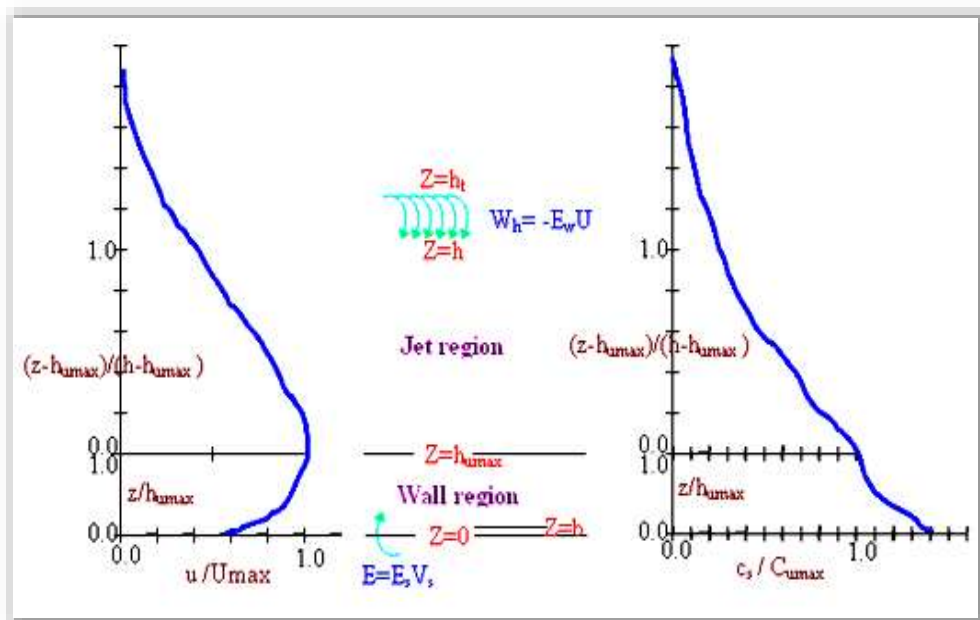
در این رابطه E_w شدت اختلاط و R_i عدد ریچاردسون است. در جریان غلیظ برای به دست آوردن عمق و سرعت جریان نیاز به انتگرال‌گیری در عمق جریان (z) دارد. همچنین غلظت در امتداد قائم دارای تغییرات تدریجی است. روابط (۵، ۶ و ۷) برای به دست آوردن متوسط غلظت در عمق C_s ، سرعت متوسط U و عمق h ارائه شده است [3]:

$$\bar{C}_s = \frac{\int_0^\infty C_s u dz}{\int_0^\infty u dz} = \frac{\int_0^{h_t} C_s u dz}{\int_0^{h_t} u dz} \quad (5)$$

$$\bar{U} = \frac{\int_0^\infty u^2 dz}{\int_0^\infty u dz} = \frac{\int_0^{h_t} u^2 dz}{\int_0^{h_t} u dz} \quad (6)$$

$$\bar{h} = \frac{\left(\int_0^\infty u dz\right)^2}{\int_0^\infty u^2 dz} = \frac{\left(\int_0^{h_t} u dz\right)^2}{\int_0^{h_t} u^2 dz} \quad (7)$$

u سرعت جریان و h در این روابط ارتفاعی که در آن سرعت برابر صفر می‌شود.



شکل (۱): شماتیک پروفیل‌های بی‌بعد سرعت و غلظت در جریان غلیظ [4]

جریان در ارتفاعی معادل با 0.35 تا 0.5 برابر ضخامت متوسط جریان اتفاق می افتد [7]. سکویروس و همکاران با یک سری آزمایش های جریان غلیظ نمکی و رسوبی بر روی بستر متحرک شکل گیری فرم بستر را مورد مطالعه قرار داده و اثر زبری و فرم بستر ایجاد شده بر روی پروفیل های سرعت و مقدار افزایش غلظت از طریق بستر متحرک را مورد بررسی کیفی قرار دادند. آنها نشان دادند که شکل گیری فرم بستر در رژیم های مختلف با یکدیگر متفاوت بوده و اثر متفاوتی نیز بر روی پروفیل سرعت در نزدیک بستر (بخش دیواره از پروفیل سرعت جریان غلیظ) و فاصله عمودی محل قرارگیری سرعت بیشینه دارد [8]. شریفی نژاد با انجام آزمایش های جریان غلیظ نمکی بر روی بستر متحرک شکل گیری فرم بستر را مورد مطالعه قرار داده و اثر زبری و فرم بستر ایجاد شده بر روی پروفیل های سرعت و غلظت از طریق بستر متحرک را مورد بررسی قرار دادند. نتایج نشان داد تشکیل فرم های بستر بر توزیع غلظت جریان غلیظ در عمق نیز تأثیرگذار است. به طوری که با تشکیل فرم بستر، باعث کاهش غلظت بدنه جریان غلیظ و یکنواخت شدن توزیع آن در عمق خواهد شد [9]. کاهه و ورجاوند جریان غلیظ بر روی بستر زبر را بررسی کردند نتایج این تحقیقات نشان داده است که تغییرات زبری بستر بر روی خصوصیات جریان غلیظ مانند پروفیل سرعت و غلظت، سرعت پیشانی، ضریب ورود و میزان ته نشینی اثرگذار خواهد بود [10,11].

الگوی جریان در قوس

قبل از ورود به خم، جریان موجود در رودخانه، جریانی طولی بوده و فاقد جریان عرضی است. در این حالت پروفیل سرعت در راستای عرض رودخانه به گونه ای است که ماکزیمم مقدار سرعت در محور مرکزی رودخانه است. در راستای قائم نیز سرعت آب در نزدیکی کف بستر به دلیل مقاومت در مقابل جریان کمتر از سرعت در سطح آب است. با ورود جریان به قوس

در تحقیقات انجام شده با استفاده از جریان غلیظ نمکی در یک معبر زیر آبی برای برداشت پروفیل سرعت از سرعت سنج داپلر اکوستیک استفاده شد. نتایج آزمایش ها نشان می دهد بر خلاف جهت جریان ثانویه در رودخانه ها که به سمت ساحل داخلی است، جهت جریان ثانویه در معبر زیر آبی معکوس بوده و از ساحل داخلی به سمت ساحل خارجی است. تغییرات جریان اصلی و تنش برشی کل بر شکل گیری و گسترش انباشتگی در ساحل داخلی در معبرهای زیر آبی مؤثر خواهد بود و در نهایت ممکن است بر تغییر شکل این کانال ها نیز اثر گذارد [5]. بر اساس نتایج به دست آمده از آزمایش ها با افزایش ارتفاع دریچه ورودی، عدد فرود چگالی جریان ورودی کاهش پیدا می کند؛ بنابراین پرش هیدرولیکی کوچک تری لازم است تا این جریان فوق بحرانی را به حالت زیر بحرانی برساند. از این رو جریان گل آلود در طول کانال با عدد فرود بالاتری به جریان خود ادامه می دهد. در این حالت ضخامت جریان گل آلود در طول کانال کاهش یافته و سرعت جریان افزایش می یابد. فیروزآبادی و همکاران در یک مطالعه آزمایشگاهی به وسیله دستگاه ADV پروفیل سه بعدی سرعت جریان را برداشت و آن را با مدل ریاضی $k-\epsilon$ مقایسه نمودند. نتایج حاصل از تحقیق تطابق خوبی بین مدل آزمایشگاهی و مدل عددی نشان می دهد [6].

کشتکار و همکاران پروفیل های سرعت و غلظت جریان گل آلود در حالت دوبعدی و در یک مدل فیزیکی در محدوده حالت های زیر بحرانی تا فوق بحرانی مورد مطالعه قرار دادند. نتایج نشان می دهد که افزایش ارتفاع بازشدگی دریچه زیرگذر ورودی، منجر به افزایش سرعت جریان و کاهش ضخامت جریان گل آلود می گردد که این پدیده به نوبه خود افزایش میزان اختلاط ذرات سیال محیطی و کاهش مقادیر غلظت جریان را در پی خواهد داشت. همچنین نتایج نشان می دهد که ارتفاع معادل سرعت متوسط جریان در ارتفاعی برابر با 0.8 ضخامت متوسط جریان و ارتفاع نظیر غلظت متوسط

دامنه عدد فرود دنسیمتری که دست یافتند که سه رژیم جریان را از هم متمایز می‌سازد:

۱. رژیم بالایی با عدد فرود دنسیمتریک بالا که تقریباً همگی اعداد در محدوده جریان فوق بحرانی و جهت جریان ثانویه معکوس است (به سمت ساحل بیرونی)؛

۲. رژیم متوسط با مقادیر متوسط عدد فرود دنسیمتریک جهت جریان ثانویه نرمال (به سمت ساحل داخلی) بوده و جریان می‌تواند زیر بحرانی و یا فوق بحرانی باشد؛

۳. رژیم پایینی با عدد فرود دنسیمتریک پایین که جریان زیر بحرانی بوده و جهت جریان ثانویه معکوس است [14].

تحقیقات آزمایشگاهی و صحرایی زیادی روی جنبه‌های مختلف جریان‌های غلیظ در مسیر مستقیم صورت گرفته است در کانال‌های قوسی ورود جریان غلیظ به قوس‌ها موجب تغییر قابل توجهی در شکل جریان غلیظ و در نتیجه الگوی جریان غلیظ در قوس می‌شود. تنها تعداد کمی از این مطالعات بر روی بستر غیر ثابت (متحرک) انجام شده است. به طوری که وقتی شکل بستر توسعه پیدا کرده، اثر آن بر مشخصات جریان ورودی ارزیابی نشده است. در واقع، فرم بستر مکانیسم بازخوردی دارد و بر جریانی که آن را ایجاد کرده است، اثر خواهد گذاشت [15]. همچنین، طبق نظر ژو، یکی از مهم‌ترین دلایل تفاوت نتایج داده‌های صحرایی با نتایج آزمایشگاهی، ایجاد فرم‌های بستر در شرایط طبیعی و بستر رسوبی است [16]. همچنین، نتایج تحقیقات انجام‌شده نشان می‌دهد که پروفیل سرعت و غلظت جریان، علاوه بر آب‌شستگی به پارامترهای هیدرولیکی و هندسی جریان، به دانه‌بندی بستر و تنش‌های برشی ناشی از آن نیز وابسته است [17]. آزمایش‌های جریان غلیظ زیررونده را با محلول نمکی و دو نوع دانه‌بندی بستر (با میانگین هندسی ۱۰۰ و ۱۸۰ میکرومتر) نشان داد به‌طور قطع یک جریان با دبی معین می‌تواند به مقدار قابل توجهی رسوبات کف را معلق کند. به طوری که دبی

رودخانه، ذراتی که در حال حرکت در خم هستند، علاوه بر نیروی ثقل تحت تأثیر نیروی گریز از مرکز قرار گرفته که می‌خواهند آنها را از مسیر مستقیم منحرف نماید. از آنجایی که توزیع سرعت در مقطع نامتقارن است، نیروی گریز از مرکز (F) در عمق ثابت نبوده و در هر نقطه تابع سرعت جریان است. در لایه‌های نزدیک به سطح آب به دلیل سرعت بیشتر، ذرات با نیروی بیشتری به طرف دیواره قوس بیرونی کشیده می‌شوند. نیروی فشاری خالص وارد بر همان جرم واحد سیال در امتداد r به صورت معادله (۹) است:

$$P = -\gamma \frac{\partial h}{\partial r} \quad (9)$$

در این رابطه h در واقع همان ارتفاع سطح آزاد جریان است. مقدار متوسط F و P به تقریب با هم برابرند. مقدار نیروی گریز از مرکز با زیاد شدن ارتفاع و افزایش سرعت ناشی از آن افزایش می‌کند؛ این در حالی است که مقدار P به‌طور کلی با z تغییر نمی‌کند؛ بنابراین در بخش بالایی مقطع $P < F$ و در بخش پایینی آن $P > F$ است. این حالت موجب حرکت چرخشی جریان در عرض مقطع، جریان ثانویه (Secondary flow) خواهد بود [12]. اندرکنش جریان ثانویه و مؤلفه طولی سرعت موجب تشکیل جریان حلزونی (Helical flow) در طول قوس می‌گردد.

آبد و همکاران جریان ثانویه ناشی از عبور جریان غلیظ نمکی از کانالی با پیچ‌وخم زیاد را مورد بررسی قرار دادند. نتایج نشان داد پروفیل قائم سرعت در امتداد جریان و اختلاف چگالی نسبی جریان غلیظ زیرگذر مرتباً با عدد فرود دنسیمتریک (Fd) تغییر می‌کند. هنگامی که عدد Fd کاهش می‌یابد، ماکزیمم سرعت در رأس خم به سمت محل تلاقی جریان غلیظ با محیط پیرامون میل می‌کند و پروفیل اختلاف چگالی نسبی اضافی به‌جز در محل تلاقی یکنواخت‌تر می‌شود. هنگامی که Fd افزایش پیدا می‌کند، سرعت ماکزیمم مماس به سمت بستر متمایل می‌شود [13]. آبد و همکاران در آزمایش‌های خود به سه

کلی ۸/۵ متر، عمق ۷۰ سانتی متر، عرض ۲۰ سانتی متر و شیب کف ۰/۰۰۱، دارای سه خم متوالی ۹۰ درجه به شعاع انحنای ۴۰، ۸۰ و ۱۲۰ انجام شد (شکل ۳). برای انجام این آزمایش‌ها از نمک طعام و ماده رنگی حلال در آب برای ایجاد سیال غلیظ استفاده گردید. علت استفاده از ماده رنگی به همراه محلول آب و نمک برای تشخیص سیال غلیظ (محلول آب و نمک) از سیال پیرامون (آب شهری) و قابل رؤیت بودن آن است. آزمایش‌ها به صورت جریان نمکی و در چهار دبی ۰/۷، ۱، ۱/۵ و ۲ لیتر در ثانیه و در غلظت‌های ۱۰، ۱۵، ۲۰ و ۲۵ گرم در لیتر صورت پذیرفت. به دلیل کم بودن حجم مخزن‌های اختلاط به تنهایی (۲۰۰۰ لیتر) سیال غلیظ (محلول آب، نمک و ماده رنگی) تهیه شده در دو مخزن اختلاط آماده و به‌طور جداگانه توسط پمپ از هر مخزن سیال غلیظ به یک هد تانک با ارتفاع ثابت به صورت پیوسته تا پایان آزمایش‌ها منتقل می‌گردد. برای تهیه بستر متحرک در کف فلوم رسوباتی از جنس پلی استایلین با چگالی ۱/۰۱۳ با ارتفاعی در حدود ۸ سانتی متر در فاصله یک متری از دریچه پس از یک سطح شیب‌دار ملایم که به‌عنوان آرام‌کننده جریان عمل می‌کند قرار گرفته است (شکل ۲).



شکل (۲): آرام‌کننده ابتدای فلوم

پیش از ورود جریان غلیظ، فلوم به‌طور کامل آبگیری شده و شیرفلکه ورود سیال غلیظ به محوطه پشت دریچه فلوم باز می‌شود. (در انتهای ۵۰ سانتی متری ابتدایی کانال یک دریچه برای عبور جریان غلیظ تعبیه

شناوری را به بیش از ۱۰ درصد افزایش دهد و نیز تجزیه و تحلیل تنش برشی بستر، اهمیت اصطکاک و نیروی دراگ را نشان داد [18]. مطالعه جریان غلیظ رسوبی و نمکی در هر دو رژیم زیر بحرانی و فوق بحرانی نشان داد فرم بسترهای تشکیل شونده اثر بازخوردی دارند و در واقع بر روی جریان تولیدی خود اثر می‌گذارند [19]. برای اولین بار بررسی کامل مقاومت و انتقال بار بستر در جریان غلیظ زیر رونده با سه حالت جریان نمکی، رسوبی و ترکیبی، با تشکیل چهار فرم بستر در رژیم‌های جریان زیربحرانی و فوق بحرانی انجام شدند. طبق نتایج به دست آمده روابط انتقال رسوب حاصل از داده‌های آزمایشگاهی تطابق خوبی با روابط موجود در کانال‌های باز دارند. همچنین، مقایسه داده‌های صحرایی به کمک پارامترهای شیلدز و عدد فرود دنسیمیتریک دلیل محکمی بر کاربرد روابط آزمایشگاهی است [15].

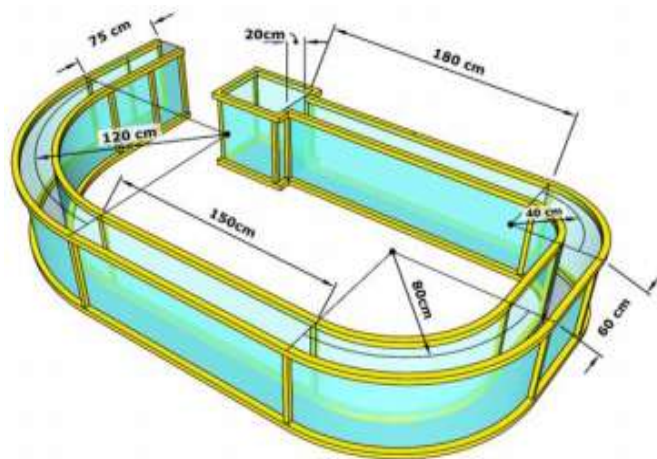
بنابراین، نادیده گرفتن رسوبات بستر موجب می‌شود که اثر متحرک بودن رسوبات کف و یا تشکیل فرم‌های بستر نادیده گرفته شود و نتایج آزمایشگاهی با خطا همراه شود. بنابراین، با توجه به اهمیت نقش بستر رسوبی در تحلیل مشخصات جریان غلیظ و نزدیک شدن به نتایج واقعی‌تر در طبیعت، رفتار جریان غلیظ در قوس با بستر فرسایشی، بررسی چگونگی رسوب‌گذاری در قوس‌ها و مقایسه خصوصیات جریان در شعاع انحنای ملایم، متوسط و تند از اهمیت بالایی برخوردار است. این جریان‌ها مکانیزم اصلی انتقال جریان‌های رودخانه‌ای، ساحلی و ذرات کف اقیانوس به آب‌های عمیق‌تر است. از این رو، این جریان‌ها مسئول شستشوی تنگه‌های زیردریایی و همین‌طور تشکیل مخروط افکنه‌های بسیار وسیع در دهانه بیشتر تنگه‌ها هستند.

مواد و روش‌ها

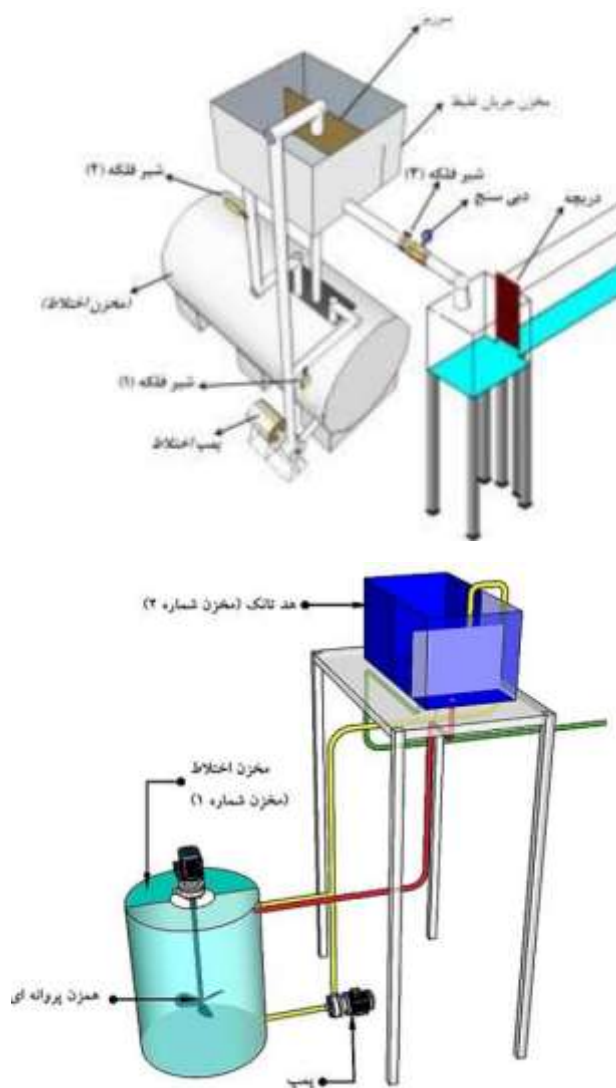
آزمایش‌های این تحقیق در آزمایشگاه مدل‌های فیزیکی و هیدرولیکی دانشکده مهندسی علوم آب دانشگاه شهید چمران اهواز انجام شد. این آزمایش‌ها در فلومی با طول

آن تخلیه می‌گردید. در این حالت بخشی از سیال ساکن نیز از فلوم خارج می‌شود برای ثابت نگه‌داشتن سطح آب ساکن، شیرفلکه ورودی آب تمیز به فلوم باز و مقدار آب لازم به فلوم اضافه می‌شد تا مانع از افت تراز آب گردد (شکل ۴). برای جلوگیری از به وجود آمدن تلاطم در این ناحیه تیغه آرام‌کننده جریان در انتهای فلوم نصب گردید. بعد از تخلیه کامل رأس جریان و حصول اطمینان از یکنواخت بودن بدنه جریان در طول فلوم، ارتفاع جریان غلیظ در هر قوس در فاصله ۱۰ سانتی متری در طول فلوم در دو دیواره داخلی و خارجی قرائت و ثبت گردید.

شده است. با گشودن این دریچه جریان غلیظ در کف فلوم و در زیر آب ساکن به حرکت درمی‌آید. اندازه‌گیری دبی ورودی از طریق دبی‌سنج و تنظیم آن از طریق شیرفلکه یادشده صورت می‌گرفت. پس از تنظیم دبی به محض آنکه سطح سیال غلیظ پشت دریچه فلوم برابر با سطح سیال پیرامون می‌گشت دریچه فلوم به ارتفاع ۱۰ سانتی متر گشوده می‌شد. بدین شکل جریان غلیظ با دبی تنظیم‌شده وارد فلوم می‌گشت. حرکت جریان غلیظ زیر سیال محیطی آغاز و پس از رسیدن رأس جریان غلیظ به انتهای فلوم شیرفلکه انتهای فلوم (شیرفلکه تخلیه) باز شده و رأس جریان و تلاطم‌های



شکل (۳): شماتیک فلوم مورد استفاده و نما از بالا فلوم



شکل (۴): مخزن های اختلاط

متوسط ۳۰۰۰ داده توسط نرم افزار ثبت شده است. در این تحقیق با استفاده از دستگاه سرعت سنج صوتی (ADV) مؤلفه های سرعت (u , v , w) در ۴۸ نقطه (۴ نقطه در عرض و ۱۲ نقطه در عمق) در هر مقطع عرضی اندازه گیری و ذخیره شد. مدت زمان ذخیره مؤلفه های سرعت لحظه ای در هر نقطه ۲۰ تا ۳۰ ثانیه به طول انجامید؛ داده برداری دستگاه ADV در راستای ارتفاع از بالا به پایین صورت گرفت. سپس سنسور دستگاه به سمت نقطه بعدی جابه جا شد و این عمل تا کامل شدن پروفیل سرعت ادامه می یافت. سرعت ها نیز در محور کانال و در محل برداشت غلظت اندازه گیری شده اند. به منظور

به منظور برداشت ارتفاع بدنه ارتفاع جریان غلیظ از اشل با دقت یک میلی متر استفاده گردید. در دیواره داخلی و خارجی هر سه قوس، خط کش های تلقی به فاصله ۱۰ سانتی متر نصب شده اند. برای اندازه گیری سرعت از سرعت سنج داپلر اکوستیک (ADV) مدل Vectrino+ استفاده شده است شکل (۵). این دستگاه می تواند نوسانات سرعت را در یک بازه زمانی مشخص در سه راستای عمود بر هم ثبت و به محیط نرم افزار Excel انتقال و برنامه ای تنظیم شد تا بتواند با میانگین گیری از بین اعدادی با $correlation > 70$ و $SNR > 15$ متوسط هر یک از مؤلفه های سرعت را برآورد نماید. برای هر نقطه به طور

به منظور مطالعه رفتار جریان غلیظ در خم متغیرهای حاکم بر جریان را می‌توان به صورت زیر بیان نمود:

۱. خصوصیات مربوط به هندسه‌ی سیستم: شیب کانال اصلی (S_0)، عرض کانال (b)، شعاع قوس (r_m)، زاویه مرکزی قوس (θ).

۲. خصوصیات مربوط به سیستم جریان غلیظ: پارامترهای مستقل جریان در سیستم جریان غلیظ: شتاب ثقل (g)، جرم مخصوص جریان غلیظ (ρ_d)، دبی جریان غلیظ در واحد عرض (q)، لزجت سینماتیکی جریان (ν)، پارامترهای وابسته جریان: سرعت پیشانی جریان (U_f)، سرعت بدنه (U)، ضخامت پیشانی (H_f)، ضخامت بدنه (h)، عمق نقطه غوطه‌وری (h_p).

۳. خصوصیات مربوط به سیال محیطی: ارتفاع آب ساکن در فلوم (H)، جرم مخصوص سیال محیطی (ρ_a) و سرعت ورود سیال پیرامون به بدنه جریان غلیظ (W_e).

۴. خصوصیات مربوط به مصالح بستر: قطر متوسط ذرات رسوبی (D_s)، چگالی رسوبات (ρ'_s)، انحراف معیار رسوبات (σ)، ارتفاع فرم بستر (Δ) و طول موج فرم بستر (λ).

در راستای هدف این تحقیق، اثر پارامترهای هیدرولیکی مؤثر (دبی جریان غلیظ و غلظت جریان ورودی)، بر مشخصات جریان غلیظ (سرعت پیشانی، سرعت متوسط بدنه) به کمک آنالیز ابعادی قابل ارزیابی خواهد بود.

نتایج و بحث

در این آزمایش‌ها با توجه به ضخامت کم جریان غلیظ برداشت غلظت توسط ۱۰ سیفون از کف و در ارتفاعات ۱ تا ۱۲ سانتی‌متری انجام گردید. ضخامت جریان غلیظ به وسیله ارتفاع سیال ساکن ($H = 55\text{cm}$) بی‌بعد شده است. همان‌گونه که مشاهده می‌شود بیشترین مقدار غلظت در فاصله حدود ۲ سانتی‌متری از کف اتفاق می‌افتد. پروفیل غلظت جریان تابعی از فاصله نقاط از کف

برداشت پروفیل قائم غلظت از بدنه جریان غلیظ، شش سری سیفون نمونه‌گیری در ابتدا و انتهای هر قوس نصب گردید. هر سیفون نمونه‌گیری شامل ۱۴ لوله خمیده مسی به قطر ۴ میلی‌متر بوده و فاصله مرکز آنها در جهت قائم ۱۵ میلی‌متر است. در انتهای هر لوله مسی یک شیلنگ پیزومتری متصل شده و سر دیگر آن به یک سرنگ ۶۰ سی‌سی ختم می‌گردد (شکل ۶). پس از نمونه‌برداری سرنگ‌ها داخل ظروف پلاستیکی تخلیه و جهت قرائت EC به آزمایشگاه کیفیت آب منتقل می‌شد. در این تحقیق در هر خم ۱۶ آزمایش و در مجموع ۴۸ آزمایش انجام شده است.



شکل (۵): دستگاه سرعت سنج صوتی (ADV)

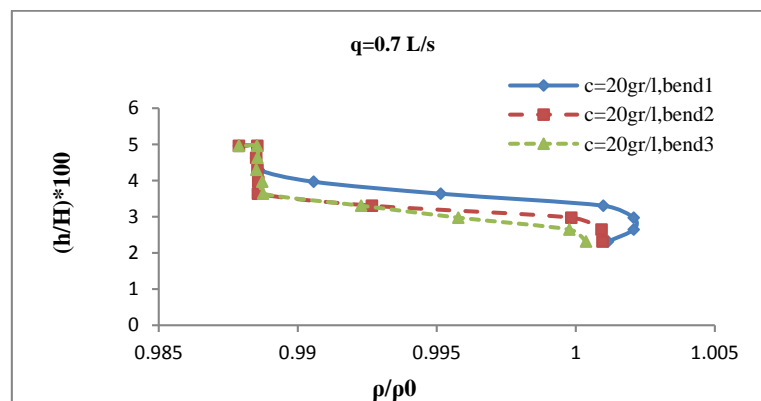


شکل (۶): بستر متحرک در کف فلوم رسوباتی (جنس پلی استایلن) و طرز قرار گرفتن سیفون‌ها

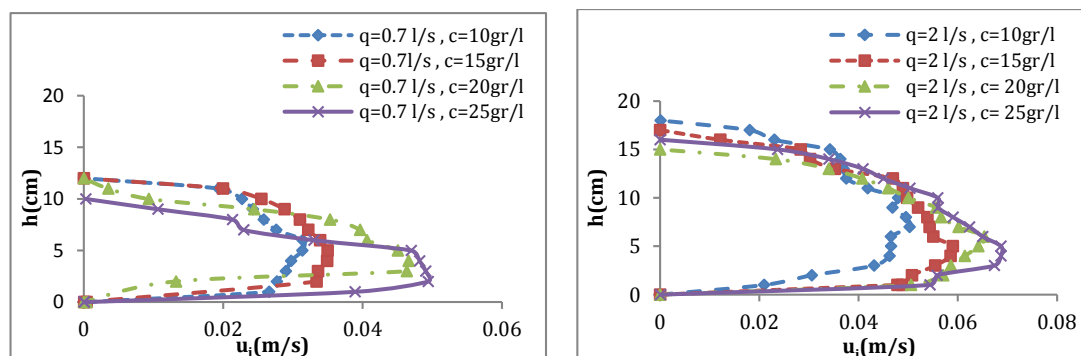
آنالیز ابعادی

غلظت های ۱۰، ۱۵، ۲۰ و ۲۵ گرم در لیتر در جدول (۱) محاسبه گردیده است. در یک غلظت و دبی ثابت با افزایش شعاع انحنای، سرعت در میانه خم و محور مرکزی کانال به دلیل کاهش اثر نیروی گریز از مرکز افزایش می یابد (شکل ۹). همچنین در خم سوم با نسبت شعاع انحنای ۶ به دلیل فاصله کم این خم تا محل تخلیه، جریان تحت تأثیر خروجی قرار می گیرد؛ در نتیجه افت تدریجی تراز آب و افزایش سرعت ناشی از آن را خواهیم داشت که این امر افزایش سرعت ناشی از کاهش نیروی گریز از مرکز را تشدید می کند. بر اساس نتایج به دست آمده سرعت در انتهای خم دوم نسبت به میانه خم اول به طور متوسط ۲۸ درصد و در میانه خم سوم نسبت به انتهای خم اول به طور متوسط ۴۴ درصد افزایش نشان می دهد.

کانال بوده و با افزایش ضخامت جریان غلیظ کاهش می یابد. غلظت نقاط اندازه گیری شده تا ارتفاع ۴ سانتی متری از کف تقریباً ثابت است و پس از آن کاهش می یابد (شکل ۷). در یک دبی ثابت با افزایش غلظت، سرعت متوسط جریان در مسیر مستقیم و نیز سرعت در میانه ی خم ها افزایش می یابد. علت این امر را می توان به افزایش مؤلفه وزن سیال در اثر افزایش غلظت نسبت داد. همچنین در یک دبی ثابت با افزایش غلظت سرعت در میانه خم ها نیز افزایش می یابد (شکل ۸) در یک غلظت و دبی ثابت با افزایش شعاع انحنای، سرعت در رأس خم و محور مرکزی کانال به دلیل کاهش اثر نیروی گریز از مرکز افزایش می یابد. مقادیر سرعت متوسط جریان و عدد فرود دنسیمتریک جریان به ازای دبی های مختلف و



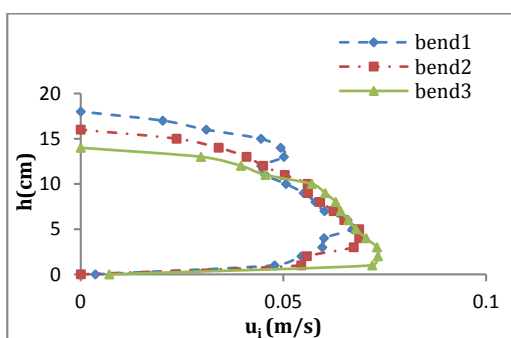
شکل (۷): موقعیت حداکثر غلظت جریان غلیظ به ازای یک دبی و غلظت ورودی ثابت در سه قوس



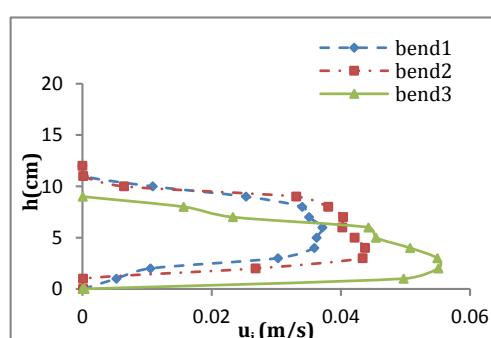
شکل (۸): پروفیل سرعت به ازای افزایش غلظت در دبی ۰/۷ و ۲ لیتر در ثانیه در میانه خم با نسبت شعاع انحنای ۴

جدول (۱): سرعت و عدد فرود دنسیمتریک جریان به ازای دبی ۰/۷ در غلظت‌های مورد نظر

شماره آزمایش در هر خم															
۱	۲	۳	۴	۵	۶	۷	۸	۹	۱۰	۱۱	۱۲	۱۳	۱۴	۱۵	۱۶
دبی جریان غلیظ (L/s)															
۰/۷	۰/۷	۰/۷	۰/۷	۱	۱	۱	۱	۱/۵	۱/۵	۱/۵	۱/۵	۲	۲	۲	۲
غلظت جریان غلیظ (g/L)															
۱۰	۱۵	۲۰	۲۵	۱۰	۱۵	۲۰	۲۵	۱۰	۱۵	۲۰	۲۵	۱۰	۱۵	۲۰	۲۵
عدد فرود دنسیمتریک قوس اول ($F_{d Bend1}$)															
۰/۲۵	۰/۳۳	۰/۳	۰/۲۵	۰/۲۷	۰/۲۷	۰/۲۸	۰/۲۶	۰/۲۷	۰/۲۷	۰/۲۳	۰/۲۲	۰/۳۴	۰/۴۲	۰/۳۷	۰/۴
عدد فرود دنسیمتریک قوس دوم ($F_{d Bend2}$)															
۰/۳	۰/۳۴	۰/۳۷	۰/۳۳	۰/۳۲	۰/۳۶	۰/۳۵	۰/۳۲	۰/۳۳	۰/۴	۰/۴	۰/۳۵	۰/۴	۰/۴۵	۰/۴۴	۰/۳۶
عدد فرود دنسیمتریک قوس سوم ($F_{d Bend3}$)															
۰/۳۹	۰/۴۱	۰/۳۵	۰/۳۶	۰/۳۵	۰/۴۱	۰/۳۵	۰/۳۵	۰/۴	۰/۴۲	۰/۳۸	۰/۳۳	۰/۴۵	۰/۴۴	۰/۳۷	۰/۴۲



(ب)



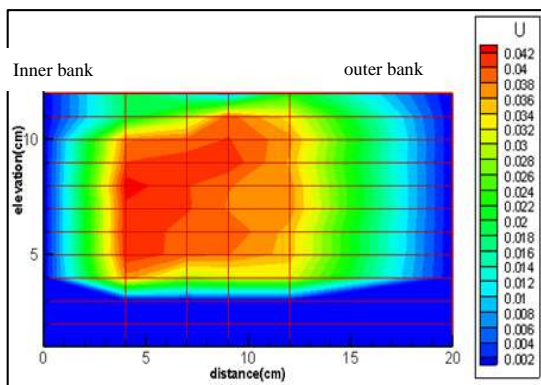
(الف)

شکل (۹): پروفیل طولی سرعت با $R/B=۲$, $R/B=۴$ و $R/B=۶$ به ازای الف) دبی ۰/۷ لیتر بر ثانیه و غلظت ۲۵ گرم بزلی تر ب) دبی ۲ لیتر بر ثانیه و غلظت ۲۵ گرم بزلی تر

در قوس دوم با شعاع انحنا ۴ و حدود ۷۲ درصد در قوس سوم با شعاع انحنا ۶ افزایش یافته است. نرخ افزایش سرعت در غلظت ۲۵ گرم بر لیتر نسبت به غلظت ۲۰ گرم بزلی تر با افزایش تنش برشی کاهش یافته است (از حدود ۳۴ درصد به ۱۵ درصد رسید است).

بنابراین، بیشترین نرخ افزایش سرعت با حذف فرم‌های بستر و کاهش زبری و تنش برشی بستر رخ خواهد داد. بدین ترتیب افزایش غلظت سبب افزایش قدرت جریان می‌گردد، به طوری که در ابتدا، زبری و تنش برشی بستر افزایش یافته و در ادامه مجدداً با حذف فرم‌های

بر روی بستر متحرک، افزایش دبی ورودی جریان غلیظ نیز باعث افزایش سرعت بدنه جریان می‌شود. با توجه به نتایج تغییرات ناشی از زبری فرم بستر با افزایش دبی جریان غلیظ ورودی بر نرخ افزایش سرعت مؤثر است. به عنوان مثال در غلظت ۲۰ گرم بر لیتر با افزایش دبی ورودی جریان غلیظ، ابتدا فرم بستر شکل گرفته و سپس فرم بسترها شروع به شسته شدن می‌کنند و زبری فرم بستر و تنش برشی آن کاهش می‌یابد. در این صورت نرخ افزایش سرعت از حدود ۲۲ درصد، در دبی ۱/۵ لیتر بر ثانیه در قوس اول با شعاع انحنا ۲، به حدود ۳۴ درصد،



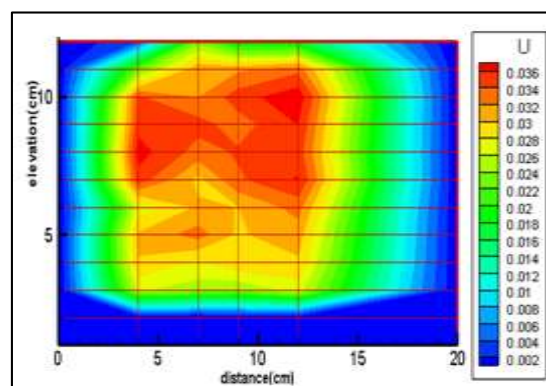
شکل (۱۱): پروفیل عرضی سرعت در ابتدای قوس اول

بر اساس نتایج به دست آمده در خم اول و مقطع عرضی دوم (میان خم) حداکثر سرعت به سمت دیواره داخلی است. با ورود جریان به خم به علت تغییر ناگهانی انحنا و اثر نیروی گریز از مرکز در امتداد جداره داخلی کاهش فشار و در امتداد جداره بیرونی افزایش فشار روی می دهد. آزمایش ها نشان داد که با حرکت جریان در طول خم، عمق جریان در امتداد دیواره داخلی کاهش و در امتداد دیواره بیرونی افزایش می یابد. در نزدیکی دیواره داخلی گرادیان فشار طولی منفی رخ داده و باعث شتاب گرفتن ذرات می گردد. در مقابل در نزدیکی دیواره بیرونی گرادیان فشار طولی مثبت بوده و فشار در امتداد جریان افزایش می یابد (شکل ۱۲).

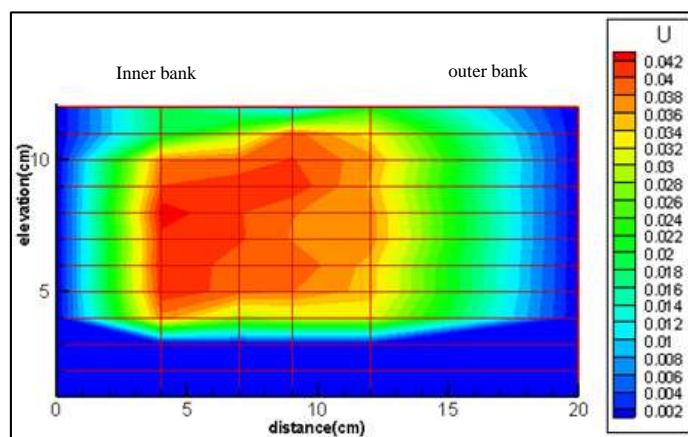
بر اساس نتایج به دست آمده در این تحقیق و نیز سایر تحقیقات صورت گرفته مانند [4,5,9] در جریان غلیظ بر خلاف جریان در مجاری روباز جریان ثانویه در کف به سمت دیواره بیرونی و در سطح مشترک به سمت دیواره داخلی است. جریان ثانویه ایجاد شده منجر به نزدیک شدن سرعت بیشینه به دیواره بیرونی شده و حداکثر سرعت به سمت دیواره بیرونی منتقل می شود. این امر در پروفیل های عرضی سرعت در خم دوم و سوم مشاهده می گردد.

بستر کاهش می یابد. با توجه به نتایج نشان داده شده در تمامی مسیرها با افزایش دبی، سرعت جریان غلیظ افزایش می یابد اما موقعیت سرعت ماکزیمم در جریان غلیظ با بستر فرسایشی به دلیل تنش برشی ایجاد شده بین بستر و بدنه جریان غلیظ، به سمت بالا حرکت کرده به عبارت دیگر سرعت ماکزیمم جریان غلیظ در فاصله بیشتری از بستر رخ می دهد.

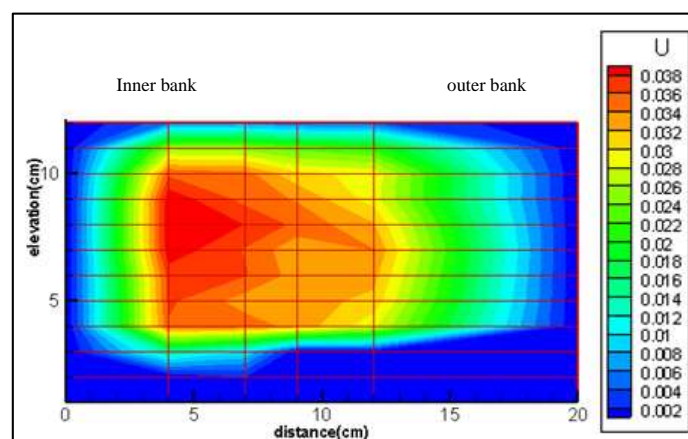
شکل (۱۰) پروفیل عرضی سرعت در مسیر مستقیم ۱۸۰ سانتی متری قبل از ورود جریان به خم را به ازای دبی 0.7 (l/s) و غلظت 15 (gr/l) نشان می دهد. در ابتدای قوس اول جریان پروفیل عرضی خود در مسیر مستقیم را حفظ نکرده و تغییر نشان می دهد. برداشت داده های سرعت در خم با شعاع انحنای ۴۰ سانتی متر با توجه به کوتاه بودن طول خم در فاصله ۵ سانتی متری از ابتدای خم و در خم های با شعاع انحنای ۸۰ و ۱۲۰ سانتی متر در فاصله ۱۰ سانتی متری از ابتدای خم انجام گرفته است. با نزدیک شدن جریان به ابتدای خم، حداکثر سرعت به سمت جداره داخلی کشیده می شود (شکل ۱۱). در تمامی شکل ها سرعت بر حسب (m/s) است و محور افقی فاصله نقاط از دیواره داخلی فلوم (Distance (cm)) و محور قائم ارتفاع (Elevation (cm)) را نشان می دهد.



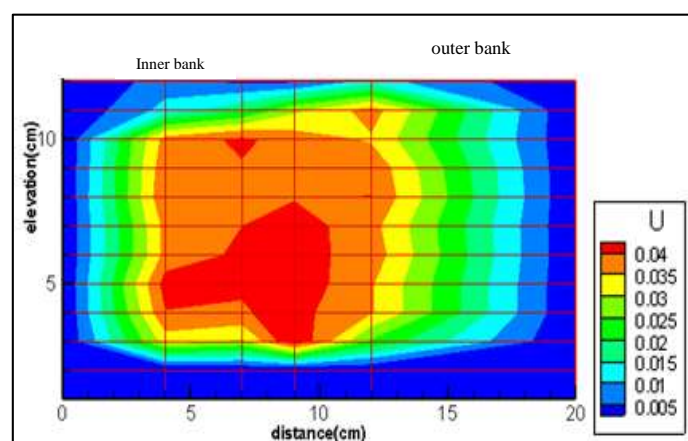
شکل (۱۰): پروفیل عرضی سرعت در مسیر مستقیم ۱۸۰ سانتی متری



(الف)



(ب)

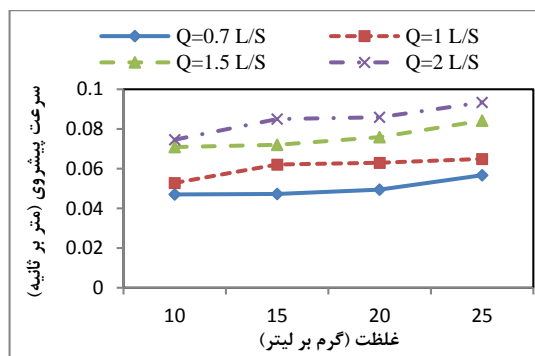


(ج)

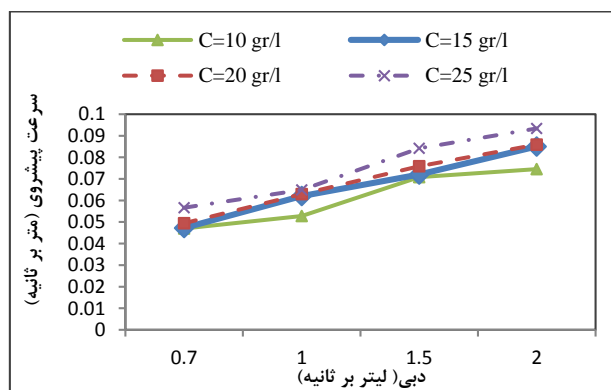
شکل (۱۲): پروفیل عرضی سرعت: الف) در ابتدا، ب) در میانه و ج) در انتها قوس اول با دبی ۰/۷ لیتر بر ثانیه و غلظت ۱۵ گرم بر لیتر

با توجه به شکل (۱۴) در یک غلظت مشخص مومتم جریان افزایش یافته و جریان برگشتی مقاوم کاهش می یابد و بدین ترتیب سرعت پیشانی افزایش یافته است. البته تا جایی این افزایش سرعت ادامه یافته است که تنش برشی ذرات بستر به حدی باشد که قادر به تشکیل فرم بستر با شد. بدین ترتیب، با کاهش تنش برشی بستر و حذف فرم های بستر، ورود ذرات به داخل پیشانی جریان کاهش یافته و در نتیجه نرخ افزایش سرعت پیشانی، کاهشی در حدود ۶ درصد داشته است. بر اساس نتایج به دست آمده در (شکل ۱۵) از آنجایی که نیروی گریز از مرکز در عمق ثابت نیست و در هر نقطه تابع سرعت جریان است در نزدیکی سطح آب جهت چرخش بردارهای سرعت به سمت دیواره خارجی و در کف به دلیل غالب بودن نیروی گرادیان فشاری به دلیل اختلاف تراز سطح آب جهت چرخش بردارهای سرعت به سمت دیواره داخلی خواهد بود و باعث شکل گیری جریان ثانویه معکوس است. این در حالی است که موقعیت سرعت بیشینه در راستای قائم پروفیل سرعت در جریان غلیظ با بستر فرسایشی بسته به عدد فرود و تنش برشی ایجاد شده بین بستر و بدنه جریان غلیظ، به سمت بالا حرکت کرده به عبارت دیگر سرعت ماکزیمم جریان غلیظ در فاصله بیشتری از بستر رخ می دهد.

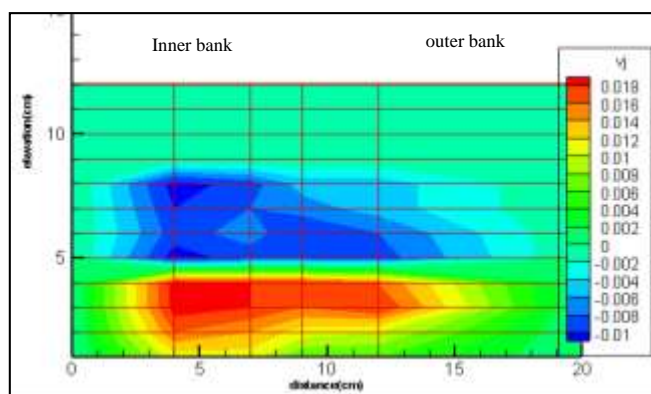
محاسبه سرعت پیشانی در شرایط بستر متحرک نشان می دهد که در تمامی آزمایش ها سرعت پیشانی در شرایط بستر متحرک (با تشکیل فرم بستر) افزایش یافته است شکل (۱۳). انتظار می رود ذرات بستر به عنوان یک عامل مقاوم در مقابل جریان باشند اما در این آزمایش ها، ورود رسوبات کف از ناحیه زیر دماغه جریان غلیظ به داخل جریان، باعث افزایش مومتم جریان غلیظ و کاهش جریان های برگشتی در مقابل جریان و در نتیجه افزایش سرعت پیشانی شده اند. البته این مسأله، اهمیت تشکیل فرم بستر در ایجاد عامل مقاومت در مقابل جریان را به خوبی نشان می دهد. چون در ابتدای حرکت جریان غلیظ، فرم بستر هنوز تشکیل نشده است و عامل مقاومت و زبری بستر ناچیز است و در نتیجه اثر مقاومتی و کاهشی در برابر سرعت پیشانی جریان وجود نخواهد داشت.



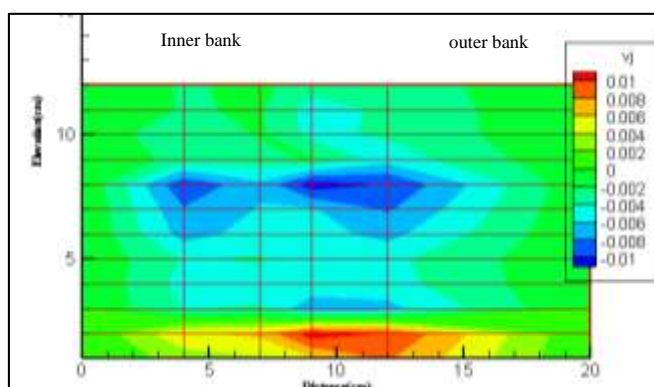
شکل (۱۳): تغییرات سرعت پیشانی جریان در دبی ثابت و غلظت های مختلف



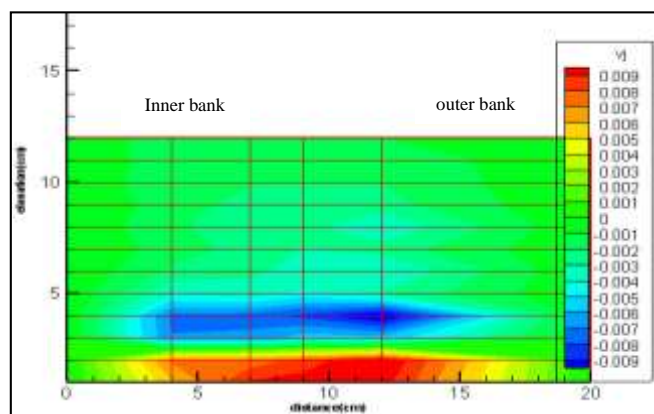
شکل (۱۴): تغییرات سرعت پیشانی جریان در غلظت ثابت و دبی های مختلف



(الف)



(ب)



(ج)

شکل (۱۵): جهت جریان ثانویه در میانه الف) قوس اول، ب) قوس دوم و ج) قوس سوم دبی ۲/۵۲ لیتر بر ثانیه و غلظت ۱۵ گرم بزلی تر

توجه به دائمی بودن جریان، عمق جریان غلیظ نیز کاهش می‌یابد؛ به طوری که در مقاطع عرضی خم سوم بیشترین سرعت طولی و کمترین عمق جریان غلیظ را می‌توان مشاهده نمود. در تمامی آزمایش‌های این تحقیق عدد فرود دنسیمتریک کمتر از ۱ بوده و رژیم جریان زیر

نیروی گریز از مرکز با شعاع انحنا رابطه معکوس داشته و در نتیجه با افزایش شعاع انحنا نیروی گریز از مرکز کاهش می‌یابد. کاهش نیروی گریز از مرکز موجب کاهش جریان‌های ثانویه ناشی از آن می‌شود. این امر منجر به افزایش سرعت جریان در مسیر جریان شده و با

نیروی مقاوم در مقابل جریان ورودی عمل می‌کنند. در نتیجه طبق نتایج حاصل شده، باعث کاهش سرعت بدنه جریان تا حدود ۱۹ درصد هم خواهند شد. با توجه به نتایج در شرایط بستر متحرک عموماً با افزایش غلظت و در نتیجه افزایش سرعت جریان، قدرت جریان غلیظ نیز افزایش یافته است و سبب تغییر زبری بستر و افزایش تنش برشی بستر شده است. تا جایی که با شسته شدن فرم بستر، زبری و تنش برشی نیز شروع به کاهش می‌کند. در یک غلظت مشخص مومتم جریان افزایش یافته و جریان برگشتی مقاوم کاهش می‌یابد و بدین ترتیب سرعت پیشانی افزایش یافته است.

بحرانی است و جریان ثانویه نیز معکوس است؛ از این رو نتایج حاصل از این آزمایش با نتایج حاصل از آبد و همکاران مطابقت دارد (۳).

نتیجه‌گیری

نکته حائز اهمیت در پروفیل‌های سرعت بدنه جریان این است که نرخ افزایش سرعت به ازای افزایش غلظت، به تغییرات فرم بستر وابسته است. با افزایش غلظت جریان غلیظ، تنش برشی بستر نیز افزایش یافته است. در شرایط بستر متحرک ذرات بستر فعال هستند و با افزایش سرعت و تشکیل فرم‌های بستر سبب افزایش زبری و مقاومت بستر جریان می‌شوند، به طوری که ذرات بستر به صورت

مراجع

1. Kassem, A., and Imran, J. "Three-dimensional modeling of density current. II: Flow in sinuous confined and unconfined channels", *Journal of Hydraulic Research*, Vol. 42, No. 6, pp. 591–602, (2004).
2. Parker, G., Gary, M., and Toniolo, H. "Note on the Analysis of Plunging of Density Flows", *Journal of Hydraulic Engineering*, Vol. 133, No. 6, pp. 690, (2007).
3. Abad, J. D., Sequeiros, O. E., Spinewine, B., Pirmez, C., García, M. H, and Parker, G., "Secondary current of saline underflow in a highly meandering channel: Experiments and theory", *Journal of Sedimentology Research*, Vol. 81, pp. 787–813, (2011).
4. Islam, M. A. and Imran, J. "Experimental modeling of gravity underflow in a sinuous submerged channel", *Journal of Geophysics Research*, Vol. 113, pp.C07041, (2008).
5. Keevil, G. M., Peakall, J., Best, J. L. and Amos, K. J. "Flow structure in sinuous submarine channels: Velocity and turbulence structure of an experimental submarine channel", *Journal of Marine Geology*, Vol. 229, No. (3–4), pp. 241–257, (2006).
6. Firoozabadi, B., Afshin, H. and Aram, E. "Three-Dimensional Modeling of Density Current in a Straight Channel", *Journal of Hydraulic Engineering*, Vol. 135, No. 5, (2009).
7. کشتکار، شیوا، ایوب زاده، علی، فیروزآبادی، (۱۳۸۹). "بررسی پروفیل سرعت و غلظت جریان گل‌آلود با استفاده از مدل فیزیکی. پژوهش‌های آبخیزداری"، (۸۷): ۳۶–۴۳.
8. Sequeiros, O. E., Spinewine, B., Beaubouef, R.T., Sun, T., García, M. H. and Parker, G. "Characteristics of Velocity and Excess Density Profiles of Saline Underflows and Turbidity Currents Flowing over a Mobile Bed", *Journal of Hydraulic Engineering*, Vol. 136, No. 7, pp. 412-433, (2010a).

۹. شریفی نژاد، اعظم، " بررسی آزمایشگاهی مشخصه‌های هیدرولیکی جریان غلیظ در شرایط بستر متحرک"، پایان نامه دکتری، دانشکده مهندسی علوم آب، دانشگاه شهید چمران اهواز، (۱۳۹۶)
۱۰. کاهه، مهدی، " بررسی آزمایشگاهی دینامیک جریان غلیظ بر روی سطح زبر"، رساله دکتری، دانشکده مهندسی علوم آب، دانشگاه شهید چمران اهواز، (۱۳۹۴).
۱۱. ورجاوند، پیمان، "بررسی آزمایشگاهی جریان غلیظ بر روی بسترهای زبر"، رساله دکتری، دانشکده کشاورزی، دانشگاه تبریز، (۱۳۹۲).
۱۲. امید، محمدحسین و حبیب زاده، علیرضا، " فرایندهای رودخانه‌ای"، انتشارات دانشگاه تهران، تهران، ۲۷۲ صفحه، (۱۳۸۸).
13. Oehy, C. "Effects of obstacles and jets on reservoir sedimentation due to turbidity currents", PhD thesis, Fac. ENAC, Ecole Polytech. Fed. de Lausanne, Lausanne, France, (2003).
14. Corney, R.K.T., Peakall, J., Parsons, D.R., Elliott, L., Amos, K.J., Best, J.L., Keevil, G.M. and Ingham, D.B. "The orientation of helical flow in curved channels", *Journal of Sedimentology*, No. 53, pp. 249–257, (2006).
15. Sequeiros, O. E., Spinewine, B., Beaubouef, R.T., Sun, T., García, M.H. and Parker, G. "Bed load transport and bed resistance associated with density and turbidity currents", *Journal of Sedimentology*, No. 57, pp.1463–1490, (2010b).
16. Xu, J.P. "Normalized velocity profiles of field-measured turbidity currents", *Journal of Geology*, Vol. 38, No. 6, pp. 563-566, (2010).
17. Turner, J. S. Buoyancy effects in fluids. Cambridge University Press, Cambridge, England, (1973).
18. Parker G, Garcia M, Fukushima Y and Yu W, "Experiments on turbidity currents over an erodible bed", *Journal of Hydraulic Research*, Vol. 25, No. 1, pp. 123-147, (1987).
19. Sequeiros, O. E., Spinewine, B., Beaubouef, R., Sun. T., García. M., and Parker, G., "Characteristics of Velocity and Excess Density Profiles of Saline Underflows and Turbidity Currents Flowing over a Mobile Bed", *Journal of Hydraulic Engineering*, Vol. 136, No.7, pp. 412-433, (2010).

